

07;12  
©1995

**ЭФФЕКТ АНОМАЛЬНОГО УВЕЛИЧЕНИЯ  
ПОКАЗАТЕЛЯ ПРЕЛОМЛЕНИЯ  
ПРИ ОТЖИГЕ ПРОТОНООБМЕННЫХ  
ВОЛНОВОДОВ В  $\text{LiNbO}_3$**

*Ю.Н.Коркишко, В.А.Федоров*

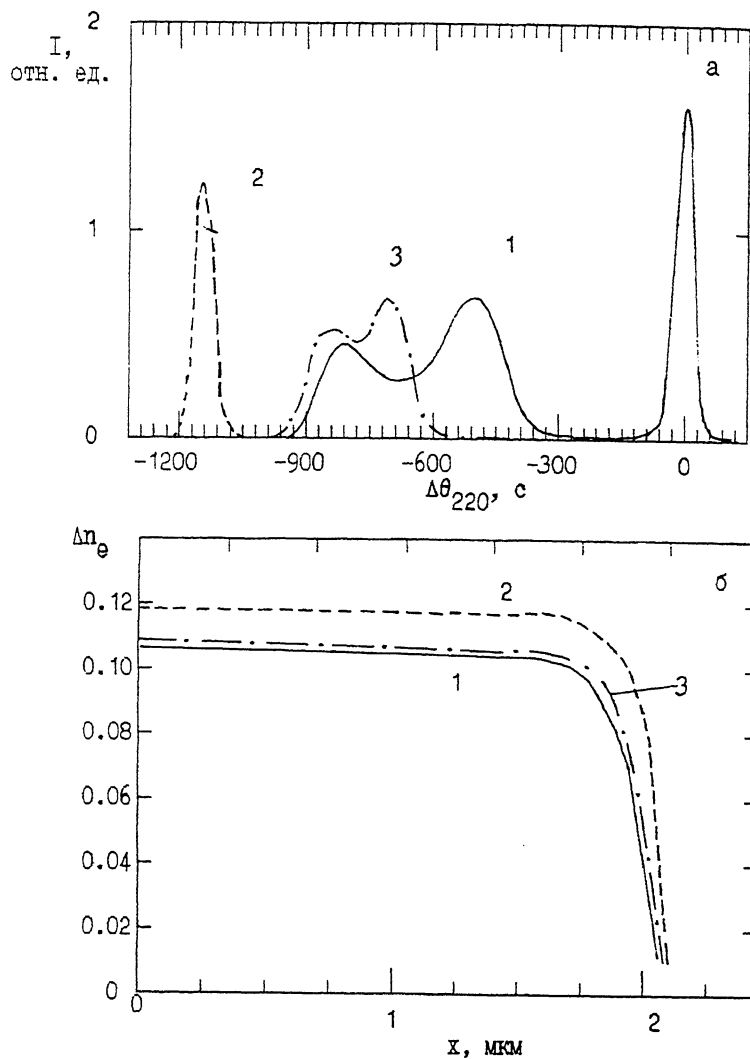
Протонный обмен [1] в силу простоты изготовления и высокого качества волноводов становится в последнее время, наряду с диффузией титана из пленок, широко распространенным методом формирования волноводных структур в кристаллах ниобата и tantalата лития.

В работах [2,3] сообщалось, что механические напряжения, появляющиеся в протонообменных  $\text{LiNbO}_3$  световодах из-за несоответствия параметров решетки слоя  $\text{H}_x\text{Li}_{1-x}\text{NbO}_3$  и подложки  $\text{LiNbO}_3$ , значительно модифицируют фазовую диаграмму  $\text{HNbO}_3-\text{LiNbO}_3$ , построенную авторами работ [4,5] для порошков. Так, в работе [2,3] путем оптических и рентгеновских исследований была установлена возможность существования по крайней мере шести различных кристаллических фаз  $\alpha$ ,  $\beta$ ,  $\gamma$ ,  $\delta$ ,  $\zeta$  и  $\eta$ - $\text{H}_x\text{Li}_{1-x}\text{NbO}_3$  в  $\text{H}:\text{LiNbO}_3$  световодных слоях. В зависимости от условий получения световодов они могут содержать одну или две фазы. В последнем случае  $\text{H}_x\text{Li}_{1-x}\text{NbO}_3$  фазы оформляются в виде двух последовательных слоев. Последние исследования показали, что область существования волноводов с приращениями показателей преломления  $\Delta n_e < 0.07$ , принимавшаяся в работах [2,3] за  $\alpha$ -фазу, на самом деле неоднородна и состоит из двух кристаллических фаз [6,7].

В данной работе исследуется влияние постобменного отжига при температуре 330°C на свойства протонообменных световодов в  $\text{LiNbO}_3$ , содержащих  $\delta$ -фазу  $\text{H}_x\text{Li}_{1-x}\text{NbO}_3$ . Такие волноводы формируются путем протонного обмена в ряде широко известных расплавов, например бензойной кислоты.

В экспериментах использовались пластины  $\text{LiNbO}_3$  X- и Z-срезов. В качестве источника протонов использовались расплав чистой бензойной кислоты и раствор  $\text{KHSO}_4$  в глицерине.

Профили показателей преломления (ПП) по глубине определялись по спектрам эффективных показателей преломления волноводных мод на длине волны  $\lambda = 633$  нм, используя алгоритмы, предложенные в работах [8,9].



**Рис. 1.** Изменение кривых качания (а) и профилей показателя преломления (б) в H:LiNbO<sub>3</sub> волноводе на X-срезе, полученном в расплаве бензойной кислоты при  $T = 245^\circ\text{C}$ . 1 — исходный волновод, 2 — отжиг при  $330^\circ\text{C}$  в течение 15 минут, 3 — постотжиговое хранение в течение 10 дней.

Для определения компонент тензора деформаций использовался оригинальный метод, изложенный в работе [10]. Метод основан на анализе кривых дифракционного отражения (КДО) от различных кристаллографических плоскостей. КДО записывались на двухкристальном дифрактометре ДРОН-3 (излучение  $\text{CuK}\alpha_1$ , монохроматор  $\text{Si}(311)$ ).

Обнаружено, что  $\text{H:LiNbO}_3$  волноводы на  $X$ - и  $Z$ -срезах имеют только одну ненулевую компоненту  $\varepsilon_{33}''$  тензора деформаций в так называемой "технологической" системе координат с осью 3", перпендикулярной поверхности пластины, и взаимно перпендикулярными осями 1" и 2", лежащими в ее плоскости.

На рис. 1 представлено изменение профилей ПП (рис. 1, б) и кривых качания (рис. 1, а)  $\text{H:LiNbO}_3$  волновода, полученного в расплаве бензойной кислоты после кратковременного отжига и последующего хранения на воздухе.

Динамика изменения деформаций кристаллической решетки и приращения показателя преломления относительно подложки представлена на рис. 2. Видно, что кратковременный отжиг приводит к возрастанию показателя преломления с  $\Delta n_e = 0.108$  до  $\Delta n_e = 0.119$  и увеличению деформаций от  $\varepsilon_{33}'' = 3.3 \cdot 10^{-3}$  до  $\varepsilon_{33}'' = 7.3 \cdot 10^{-3}$ . При этом двухслойная структура, содержащая верхний слой фазы  $\delta\text{H}_x\text{Li}_{1-x}\text{NbO}_3$  (меньшие деформации) и подслой  $\gamma\text{-H}_x\text{Li}_{1-x}\text{NbO}_3$ , трансформируется в однослойный  $\gamma\text{-H}_x\text{Li}_{1-x}\text{NbO}_3$  волновод.

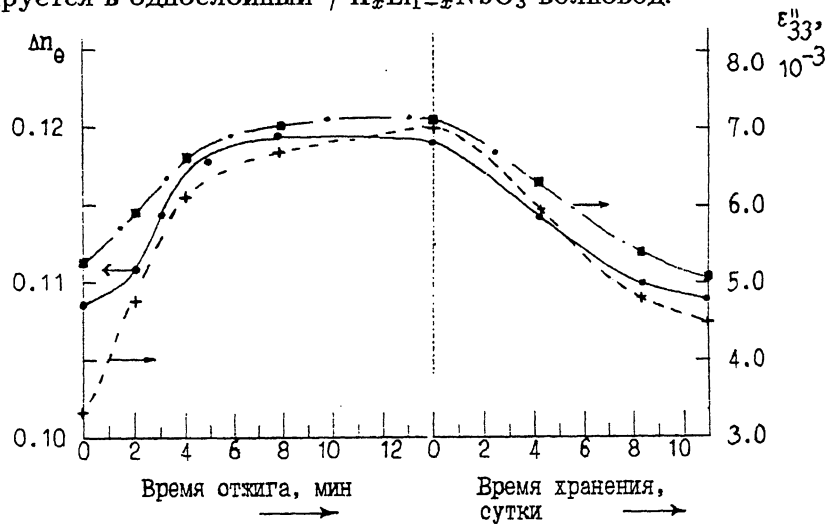


Рис. 2. Зависимость деформаций 1 и показателя преломления 2 на поверхности волновода от времени отжига при  $330^\circ\text{C}$  и от времени последующего хранения на воздухе. (+) — деформации  $\varepsilon_{33}''$  на поверхности, ■ — деформации  $\varepsilon_{33}''$  во втором слое.

Однако полученная структура является метастабильной. Как видно (рис. 1, 2), при последующем хранении на воздухе ПП уменьшается и достигает значения ПП исходного протонообменного волновода  $\Delta n_e = 0.108$ . Однородный волновод снова превращается в двухслойный. Можно видеть, что рассмотренный постобменный отжиг, так же как и последующее хранение, не приводят к заметному изменению толщины волноводов.

Аналогичные эффекты были обнаружены при отжиге  $H_xLi_{1-x}NbO_3$  волноводов, содержащих  $\delta$ -фазу  $H_xLi_{1-x}NbO_3$  на  $Z$ -срезе  $LiNbO_3$ .

Обнаруженный эффект объясняется следующим образом. Вероятно, концентрационная граница между  $\delta$  и  $\gamma$ - $H_xLi_{1-x}NbO_3$  фазами существенно зависит от температуры. В процессе протонного обмена в расплаве бензойной кислоты при температуре 245°C концентрация протонов такова, что равновесным условиям отвечает образование  $\delta$ -фазы на поверхности волновода. При отжиге кратковременное увеличение температуры не уменьшает концентрацию протонов вследствие диффузии вглубь кристалла, однако приводит к структурному фазовому переходу  $\delta \rightarrow \gamma$  в  $H_xLi_{1-x}NbO_3$  твердых растворах. В процессе постотжигового хранения структура релаксирует в равновесное исходное состояние.

Данная работа проводилась в рамках выполнения совместного гранта Международного Научного Фонда, Российского фонда фундаментальных исследований и Правительства России № J8N100.

### Список литературы

- [1] Jackel J.L., Rice C.E., Veselka J.J. // Appl. Phys. Lett. 1982. V. 41. P. 607–608.
- [2] Fedorov V.A., Korkishko Yu.N. // Proc. SPIE. 1994. V. 2291. P. 243–254.
- [3] Fedorov V.A., Korkishko Yu.N. // Proc. SPIE. 1995. V. 2401. P. 243–254.
- [4] Rice C.E., Jackel J.L. // Mat. Res. Bull. 1984. V. 19. P. 591–597.
- [5] Rice C.E. // J. Solid State Chemistry. 1986. V. 64. P. 188–199.
- [6] Korkishko Yu.N., Fedorov V.A., Katin S.V., Kondrat'ev // Proc. 7-th European Conference on Integrated Optics. Delft, The Netherlands, 1995. P. 395–398.
- [7] Korkishko Yu.N., Fedorov V.A., Katin S.V. et al. // Proc. SPIE. 1995. V. 2401. P. 149–161.
- [8] White J.M., Heidrich P.F. // Appl. Optics. 1976. V. 15. P. 151–155.
- [9] Chiang K.S. // J.Lightwave Technol. 1985. V. 3. P. 385–391.
- [10] Fedorov V.A., Ganshin V.A., Korkishko Yu.N. // Phys. status solidi (a). 1993. V. 135. N 2. P. 493–505.